



Laboratorium EMVO Sp. J. Urbański, Pawelak
ul. Jasna 1
00-013 Warszawa

tel. +48 22 780 29 64

e-mail: laboratorium@emvo.pl



AB 1630

Sprawozdanie z pomiarów pól elektromagnetycznych - środowisko ogólne nr 7/12/OŚ/2021- P4



Nr i nazwa stacji	GDA1043A	
Adres	Gdańsk, Worcella 31, pow. Gdańsk, woj. pomorskie	
Opracowanie	Martyna Karczmarczyk	Specjalista ds. pomiarów
Autoryzacja	Andrzej Urbański	Kierownik Laboratorium
Podpis		
Data	2021-12-06	

Spis treści

1. Informacje ogólne.....	3
2. Podstawa prawna.	3
3. Opis pomiarów.....	4
4. Zróżnicowanie dopuszczalne poziomy pól elektromagnetycznych.....	5
5. Charakterystyka źródeł PEM.....	5
6. Wyniki pomiarów.....	5
7. Stwierdzenie zgodności	7
8. Oświadczenie.....	8
9. Spis załączników.	8

1. Informacje ogólne.

Zleceniodawca	P4 sp. z o.o., ul. Wynałazek 1, 02-677 Warszawa osoba udzielająca informacji – Emilia Piętka
Istotne informacje dostarczone przez klienta	komplet informacji niezbędnych do wykonania pomiarów i opracowania sprawozdania
Dane otrzymane od klienta mogące mieć wpływ na ważność wyników	Dane anten sektorowych, dane anten radioliniowych, parametry pracy instalacji, poprawka pomiarowa, ustawienie pochylenia anten
Prowadzący instalację	P4 sp. z o.o., ul. Wynałazek 1, 02-677 Warszawa
Lokalizacja obiektu	Gdańsk, Worcella 31, pow. Gdańsk, woj. pomorskie
Miejsce instalacji anten	Dach budynku
Miejsce instalacji urządzeń	Outdoor
Osoby wykonujące pomiar	Dawid Tarantowicz
Data wykonania pomiaru	06.12.2021
Temperatura na początku pomiaru [°C]	0,5
Temperatura na koniec pomiaru [°C]	0,5
Warunki atmosferyczne	Brak opadów
Wilgotność na początku pomiaru [%]	74,5
Wilgotność na koniec pomiaru [%]	74,0
Godzina na początku pomiaru	14:35
Godzina na koniec pomiaru	16:15
Inne źródła pól elektromagnetycznych oznaczone na załączniku graficznym	Nie występują
Parametry pracy instalacji	Rzeczywisty

2. Podstawa prawna.

2.1 Normy i rozporządzenia:

- Rozporządzeniem Ministra Klimatu z dnia 17 lutego 2020 r. w sprawie sposobów sprawdzania dotrzymania dopuszczalnych poziomów pól elektromagnetycznych w środowisku (Dz.U. 2020 poz. 258)
- Rozporządzenie Ministra Zdrowia z dnia 17 grudnia 2019 r. w sprawie dopuszczalnych poziomów pól elektromagnetycznych w środowisku (Dz.U. 2019 poz. 2448)
- Obwieszczenie Marszałka Sejmu Rzeczypospolitej Polskiej z dnia 19 lipca 2019 r. w sprawie ogłoszenia jednolitego tekstu ustawy - Prawo ochrony środowiska (Dz.U. 2019 poz. 1396).

3. Opis pomiarów

Metodologia pomiarowa	Pomiary w oparciu o Rozporządzeniem Ministra Klimatu z dnia 17 lutego 2020 r. w sprawie sposobów sprawdzania dotrzymania dopuszczalnych poziomów pól elektromagnetycznych w środowisku (Dz.U. 2020 poz. 258).
Cel badań	Określenie wartości natężenia pola elektrycznego w miejscach dostępnych dla ludności.
Opis zestawu pomiarowego	Miernik Narda NBM 550, Sonda EF9091, o zakresie pomiarowym 0,7 V/m - 300V/m pracująca w paśmie 0,1 – 90 GHz, świadectwo wydane przez Laboratorium Wzorców i Metrologii Pola Elektromagnetycznego, Instytut Telekomunikacji, Teleinformatyki i Akustyki Politechniki Wrocławskiej. Świadectwo ważne do 27.03.2022r. Miernik Narda NBM 550, Sonda EF9091 pracująca w zakresie temperatury -10°C - +50°C oraz wilgotności 5% - 95%. Niepewność rozszerzona 59 % przy poziomie ufności 95% z uwzględnieniem współczynnika rozszerzenia k=2.
Wyposażenie pomocnicze	Termohigrometr Bestone, typ: GM1362-EN-00, nr identyfikacyjny 1222436, świadectwo wzorcowania z dn. 03.04.2017r. wydane przez Laboratorium Pomiarowe "MUTECH". Przymiar wstęgowy STABILA, nr identyfikacyjny 5/WL/2016, świadectwo wzorcowania z dn. 06.09.2016 r. wydane przez Zespół Laboratoriów wzorcujących Okręgowego Urzędu Miar w Gdańsku. Dalmierz laserowy BOSH GLM 40, Świadectwo wzorcowania L4-L41.4180.141.2018.3061.1 z dnia 12 września 2018 wydane przez Pracownia Długości Samodzielnego Laboratorium Długości w Głównym Urzędzie Miar. GPS Garmin 64s okresowo sprawdzany w punktach osnowy geodezyjnej klasy 3 na podstawie licencji punktu, zgodnie z procedurą sprawdzeń okresowych IS/PO-16-11/03.
Pomiary zostały wykonane	<ol style="list-style-type: none">1. na głównych i pomocniczych kierunkach pomiarowych, na kierunkach zbliżonych do azymutów anten oraz w dodatkowych pionach pomiarowych zgodnie z wymaganiami pkt 12, 13, 14 i 19 załącznika do rozporządzenia Ministra Klimatu z dnia 17 lutego 2020 r. (Dz. U. 2020, poz. 258),2. na obszarze pomiarowym, dla którego, na podstawie uprzednio wykonanych obliczeń uzyskanych od zleceniodawcy, stwierdzono możliwość występowania pól elektromagnetycznych o poziomach zbliżonych do poziomów dopuszczalnych zgodnie z wymaganiami pkt 5 ppkt 2 oraz pkt 13 ppkt 1 załącznika do rozporządzenia Ministra Klimatu z dnia 17 lutego 2020 r. (Dz. U. 2020, poz. 258). Wyniki obliczeń nie uwzględniały parametrów pracy instalacji innych operatorów występujących na obiekcie bądź w obszarze pomiarowym.3. w miejscach dostępnych dla ludności.4. miejsca niedostępne podczas wykonywania pomiarów wskazane zostały w pkt 6 (tabeli wyniki pomiarów)5. wyniki pomiarów uzyskane zostały przy uwzględnieniu poprawek pomiarowych przekazanych przez zleceniodawcę oraz przy rzeczywistych warunkach pracy instalacji innych operatorów (w przypadku występowania). W takiej sytuacji uwzględniono jednolitą poprawkę pomiarową wynoszącą 1,7.
Szczególne warunki podczas wykonywania pomiarów	Pomiary wykonane zostały podczas obowiązywania w kraju stanu epidemii, zgodnie z art. 122a ust. 1b Ustawy z dnia 27 kwietnia 2001 r. – Prawo ochrony środowiska (Dz. U. z 2019 r. poz. 1396, z późn. zm.9))

Warunki pracy urządzeń nadawczych

Podczas pomiarów zostały uwzględnione poprawki pomiarowe przekazane przez zleceniodawcę, umożliwiające uwzględnienie maksymalnych parametrów pracy instalacji zgodnie z pkt 7 załącznika do Rozporządzeniem Ministra Klimatu z dnia 17 lutego 2020 r. w sprawie sposobów sprawdzania dotrzymania dopuszczalnych poziomów pól elektromagnetycznych w środowisku (Dz. U. 2020, poz. 258).

4. Zróżnicowanie dopuszczalne poziomy pól elektromagnetycznych.

Zakresy znajdują się w Dzienniku Ustaw z dnia 17 grudnia 2019 r. przedstawione są w tabeli nr 2 (Dz. U. z 2019r. poz. 2448).

Parametr fizyczny	Składowa elektryczna E (V/m)	Składowa magnetyczna H (A/m)	Gęstość mocy S (W/m ²)
Zakres Częstotliwości pola elektromagnetycznego			
od 400 MHz do 2000 MHz	$1,375 \times f^{0,5}$	$0,0037 \times f^{0,5}$	f / 200
od 2 GHz do 300 GHz	61	0,16	10

5. Charakterystyka źródeł PEM.

Zgodnie z informacją otrzymaną od Klienta pomiary zostały wykonane przy ustawieniach pochylecia anten zgodnych z pkt. 13, ppkt 2 załącznika do rozporządzenia Ministra Klimatu z dnia 17 lutego 2020 roku.

Tabela 1. Anteny sektorowe - dane otrzymane od klienta

Charakterystyka promieniowania		kierunkowa																	
Rzeczywisty czas pracy [h/dobę]		24																	
Rodzaj wytwarzanego pola		stacjonarne																	
L	Wyszczególnienie	sektor 1					sektor 2					sektor 3							
p																			
I																			
Nadajnik stacji bazowej:																			
1	Typ / Producent	DBS / Huawei																	
2	Częstotliwość (pasmo) MHz	2600	800	2100	1800	900	2600	800	2100	1800	900	2600	800	2100	1800	900			
3	Maksymalna moc nadawana na sektor [dBm]	52,04	46,02	52,04	52,04	46,02	52,04	46,02	52,04	52,04	46,02	52,04	46,02	52,04	52,04	46,02			
II																			
Obciążenie:																			
1	Typ anteny	Huawei ATR4517R1			Huawei ATR4517R1			Huawei ATR4517R1			Huawei ATR4517R1			Huawei ATR4517R1					
2	Producent anteny	Huawei			Huawei			Huawei			Huawei			Huawei					
3	Ilość anten	1			1			1			1			1					
4	Azymut	120					230					350							
5	Zakres kątów pochylecia anten [°]	0-7	0-7	0-4	0-4	0-4	0-6	0-6	0-5	0-5	0-5	0-5	0-5	0-1	0-1	0-1			
6	Wysokość zainst. n.p.t. [m]	22,70					22,70					22,70							
7	EIRP [W]	8524			15404			8524			15404			8524			15404		

Tabela 2. Anteny radioliniowe- dane otrzymane od klienta

Charakterystyka promieniowania				kierunkowa			
Rzeczywisty czas pracy [h/dobę]				24			
Rodzaj wytwarzanego pola				stacjonarne			
Lp	Linia radiowa			Antena			
	typ/producent	częstotliwość pracy [GHz]	moc wyjściowa [dBm]	typ/producent	średnica anteny [m]	azymut [°]	wysokość zainstal. [m]
1	OPTIX RTN/HUAWEI	80	18	A80S03/Huawei	0,3	340	21,00

6. Wyniki pomiarów.

Wyniki pomiarów pól elektromagnetycznych dla celów ochrony środowiska przedstawia poniższa tabela. Piony pomiarowe zostały przedstawione w zał. 2.

Nr PP	Pole-E [V/m]	Pole-E *kE, +U [V/m]	Pole-H [A/m]	Pole-H *kE +U [A/m]	Wys. pomiaru [m]	Opis pionu	Uwagi	WM _E	WM _H
1	2,2	5,95	0,006	0,016	0,3-2,0	N:54°20'17.8" E:18°37'44.8"	otoczenie stacji bazowej - 50m wzdłuż gł. osi promieniowania - GKP	0,212	0,216
2	1,1	2,97	0,003	0,008	0,3-2,0	N:54°20'16.2" E:18°37'49.5"	otoczenie stacji bazowej - 150m wzdłuż gł. osi promieniowania - GKP	0,106	0,108
3	1,4	3,78	0,004	0,010	0,3-2,0	N:54°20'15.6" E:18°37'51.5"	otoczenie stacji bazowej - 200m wzdłuż gł. osi promieniowania - GKP	0,135	0,138
4	1,2	3,24	0,003	0,009	0,3-2,0	N:54°20'15.1" E:18°37'53.0"	otoczenie stacji bazowej - 227m wzdłuż gł. osi promieniowania - GKP	0,116	0,118
5	2,1	5,68	0,006	0,015	0,3-2,0	N:54°20'17.5" E:18°37'40.2"	otoczenie stacji bazowej - 50m wzdłuż gł. osi promieniowania - GKP	0,203	0,206
6	2,1	5,68	0,006	0,015	0,3-2,0	N:54°20'16.5" E:18°37'37.8"	otoczenie stacji bazowej - 100m wzdłuż gł. osi promieniowania - GKP	0,203	0,206
7	3,0	8,11	0,008	0,022	0,3-2,0	N:54°20'15.5" E:18°37'35.9"	otoczenie stacji bazowej - 150m wzdłuż gł. osi promieniowania - GKP	0,290	0,295
8	3,1	8,38	0,008	0,022	0,3-2,0	N:54°20'14.1" E:18°37'34.1"	otoczenie stacji bazowej - 200m wzdłuż gł. osi promieniowania - GKP	0,299	0,304
9	2,8	7,57	0,007	0,020	0,3-2,0	N:54°20'13.9" E:18°37'32.8"	otoczenie stacji bazowej - 227m wzdłuż gł. osi promieniowania - GKP	0,270	0,275
10	2,1	5,68	0,006	0,015	0,3-2,0	N:54°20'20.2" E:18°37'41.8"	otoczenie stacji bazowej - 50m wzdłuż gł. osi promieniowania - GKP	0,203	0,206
11	1,4	3,78	0,004	0,010	0,3-2,0	N:54°20'21.9" E:18°37'41.1"	otoczenie stacji bazowej - 100m wzdłuż gł. osi promieniowania - GKP	0,135	0,138
12	0,7*	2,16	0,002	0,006	0,3-2,0	N:54°20'23.3" E:18°37'40.9"	otoczenie stacji bazowej - 150m wzdłuż gł. osi promieniowania - GKP	0,077	0,079
13	0,7*	2,16	0,002	0,006	0,3-2,0	N:54°20'25.2" E:18°37'40.4"	otoczenie stacji bazowej - 200m wzdłuż gł. osi promieniowania - GKP	0,077	0,079
14	0,7*	2,16	0,002	0,006	0,3-2,0	N:54°20'26.1" E:18°37'40.2"	otoczenie stacji bazowej - 227m wzdłuż gł. osi promieniowania - GKP	0,077	0,079
15	1,5	4,05	0,004	0,011	0,3-2,0	N:54°20'20.3" E:18°37'41.6"	otoczenie stacji bazowej - 50m wzdłuż gł. osi promieniowania - GKP	0,145	0,147
16	1,2	3,24	0,003	0,009	0,3-2,0	N:54°20'20.4" E:18°37'43.6"	otoczenie stacji bazowej - GKP	0,116	0,118
17	2,4	6,49	0,006	0,017	0,3-2,0	N:54°20'18.9" E:18°37'44.8"	otoczenie stacji bazowej - GKP	0,232	0,236
18	1,5	4,05	0,004	0,011	0,3-2,0	N:54°20'18.7" E:18°37'47.3"	otoczenie stacji bazowej - GKP	0,145	0,147
19	2,5	6,76	0,007	0,018	0,3-2,0	N:54°20'16.6" E:18°37'42.9"	otoczenie stacji bazowej - GKP	0,241	0,246
20	2,6	7,03	0,007	0,019	0,3-2,0	N:54°20'15.6" E:18°37'39.9"	otoczenie stacji bazowej - GKP	0,251	0,255
21	2,1	5,68	0,006	0,015	0,3-2,0	N:54°20'18.7" E:18°37'39.2"	otoczenie stacji bazowej - GKP	0,203	0,206
22	1,7	4,60	0,005	0,012	0,3-2,0	N:54°20'20.3" E:18°37'37.3"	otoczenie stacji bazowej - GKP	0,164	0,167

„Bez pisemnej zgody Laboratorium niniejsze sprawozdanie nie może być powielane inaczej, jak tylko w całości. Ponadto wyniki dotyczą tylko badanych obiektów przywołanych w niniejszym sprawozdaniu z badań”

A	2,6	7,03	0,007	0,019	0,3-2,0	N:54°20'17.8" E:18°37'41.1"	Bitwy pod Lenino 12A, pomiar przed budynkiem -DPP	0,251	0,255
B	1,8	4,87	0,005	0,013	0,3-2,0	N:54°20'1.4" E:18°37'39.2"	Worcella 44, pomiar przed budynkiem -DPP	0,174	0,177
C	0,9	2,43	0,002	0,006	0,3-2,0	N:54°20'19.9" E:18°37'42.2"	Bitwy pod Lenino 12, pomiar przed budynkiem -DPP	0,087	0,088
D	0,8	2,16	0,002	0,006	0,3-2,0	N:54°20'19.9" E:18°37'41.5"	Bitwy pod Lenino 10, pomiar przed budynkiem -DPP	0,077	0,079
E	0,8	2,16	0,002	0,006	0,3-2,0	N:54°20'20.0" E:18°37'40.7"	Bitwy pod Lenino 8, pomiar przed budynkiem -DPP	0,077	0,079
F	0,7*	2,16	0,002	0,006	0,3-2,0	N:54°20'20.0" E:18°37'39.9"	Bitwy pod Lenino 6, pomiar przed budynkiem -DPP	0,077	0,079
G	0,7*	2,16	0,002	0,006	0,3-2,0	N:54°20'19.8" E:18°37'39.0"	Bitwy pod Lenino 4, pomiar przed budynkiem -DPP	0,077	0,079
H	0,7*	2,16	0,002	0,006	0,3-2,0	N:54°20'19.9" E:18°37'38.1"	Bitwy pod Lenino 2, pomiar przed budynkiem -DPP	0,077	0,079
I	2,1	5,68	0,006	0,015	0,3-2,0	N:54°20'20.0" E:18°37'43.7"	Bitwy pod Lenino 14/16, pomiar przed budynkiem -DPP	0,203	0,206
J	0,7*	2,16	0,002	0,006	0,3-2,0	N:54°20'20.2" E:18°37'44.5"	Bitwy pod Lenino 18/20, pomiar przed budynkiem -DPP	0,077	0,079
K	0,9	2,43	0,002	0,006	0,3-2,0	N:54°20'20.7" E:18°37'45.1"	Bitwy pod Lenino 22/24, pomiar przed budynkiem -DPP	0,087	0,088
L	0,7*	2,16	0,002	0,006	0,3-2,0	N:54°20'20.6" E:18°37'45.7"	Bitwy pod Lenino 26/28, pomiar przed budynkiem -DPP	0,077	0,079
L'	1,7	4,60	0,005	0,012	0,3-2,0	N:54°20'20.5" E:18°37'38.1"	Bitwy pod Lenino 1, pomiar przed budynkiem -DPP	0,164	0,167
M	1,9	5,14	0,005	0,014	0,3-2,0	N:54°20'20.5" E:18°37'38.9"	Bitwy pod Lenino 3, pomiar przed budynkiem -DPP	0,183	0,187
N	2,2	5,95	0,006	0,016	0,3-2,0	N:54°20'20.6" E:18°37'39.9"	Bitwy pod Lenino 5, pomiar przed budynkiem -DPP	0,212	0,216
O	1,8	4,87	0,005	0,013	0,3-2,0	N:54°20'21.6" E:18°37'40.3"	Łużycka 30, pomiar przed budynkiem -DPP	0,174	0,177
P	0,8	2,16	0,002	0,006	0,3-2,0	N:54°20'22.3" E:18°37'40.3"	Łużycka 28, pomiar przed budynkiem -DPP	0,077	0,079
R	1,4	3,78	0,004	0,010	0,3-2,0	N:54°20'22.7" E:18°37'40.3"	Łużycka 26, pomiar przed budynkiem -DPP	0,135	0,138
S	0,8	2,16	0,002	0,006	0,3-2,0	N:54°20'20.9" E:18°37'41.2"	Łużycka 23, pomiar przed budynkiem -DPP	0,077	0,079
T	0,8	2,16	0,002	0,006	0,3-2,0	N:54°20'21.6" E:18°37'41.1"	Łużycka 21, pomiar przed budynkiem -DPP	0,077	0,079
U	0,7*	2,16	0,002	0,006	0,3-2,0	N:54°20'22.2" E:18°37'41.0"	Łużycka 19, pomiar przed budynkiem -DPP	0,077	0,079
W	0,7*	2,16	0,002	0,006	0,3-2,0	N:54°20'22.8" E:18°37'40.9"	Łużycka 17, pomiar przed budynkiem -DPP	0,077	0,079
V	0,7*	2,16	0,002	0,006	0,3-2,0	N:54°20'23.4" E:18°37'40.9"	Łużycka 15, pomiar przed budynkiem -DPP	0,077	0,079
X	1,3	3,51	0,003	0,009	0,3-2,0	N:54°20'17.7" E:18°37'46.9"	Cienista 14A, pomiar przed budynkiem -DPP	0,125	0,128
Y	1,8	4,87	0,005	0,013	0,3-2,0	N:54°20'17.2" E:18°37'48.1"	Cienista 14, pomiar przed budynkiem -DPP	0,174	0,177
Z	1,4	3,78	0,004	0,010	0,3-2,0	N:54°20'15.3" E:18°37'51.6"	Cienista 18, pomiar przed budynkiem -DPP	0,135	0,138
A1	1,6	4,32	0,004	0,011	0,3-2,0	N:54°20'20.9" E:18°37'44.1"	Edmunda Biernackiego 1, pomiar przed budynkiem -DPP	0,154	0,157
B1	1,1	2,97	0,003	0,008	0,3-2,0	N:54°20'21.4" E:18°37'43.8"	Edmunda Biernackiego 3, pomiar przed budynkiem -DPP	0,106	0,108
C1	0,7*	2,16	0,002	0,006	0,3-2,0	N:54°20'24.9" E:18°37'40.2"	Cienista 16/18, pomiar przed budynkiem -DPP	0,077	0,079
D1	0,8	2,16	0,002	0,006	0,3-2,0	N:54°20'24.5" E:18°37'40.2"	Cienista 20, pomiar przed budynkiem -DPP	0,077	0,079
E1	1,2	3,24	0,003	0,009	0,3-2,0	N:54°20'23.9" E:18°37'40.3"	Cienista 22/24, pomiar przed budynkiem -DPP	0,116	0,118
F1	0,7*	2,16	0,002	0,006	0,3-2,0	N:54°20'16.4" E:18°37'42.7"	Cienista 14C, pomiar przed budynkiem -DPP	0,077	0,079

wynik pomiaru pole - E [V/m] - maksymalna wartość chwilowa zmierzona w danym pionie pomiarowym (uśredniona na podstawie punktu 11 Załącznika do Rozporządzenia Ministra Zdrowia)

„Bez pisemnej zgody Laboratorium niniejsze sprawozdanie nie może być powielane inaczej, jak tylko w całości. Ponadto wyniki dotyczą tylko badanych obiektów przywołanych w niniejszym sprawozdaniu z badań”

* Wartość zmierzona poniżej zakresu akredytacji. Do obliczeń przyjęto wartość zgodną z progmem czułości zestawu pomiarowego.

GKP - główne kierunki pomiarowe

PKP - pomocnicze kierunki pomiarowe

DPP- dodatkowe punkty pomiarowe

PP – pion pomiarowy

U - niepewność pomiarowa rozszerzona, przy poziomie ufności 95%, z uwzględnieniem współczynnika rozszerzenia $k=2$

k_E – poprawka pomiarowa badanej instalacji radiokomunikacyjnej podana przez operatora ($k_E=1,7$), poprawka pomiarowa w przypadku oddziaływania innych instalacji radiokomunikacyjnych na badany obszar ($k_E=2,0$)

WM_E - wartość wskaźnikowa poziomu emisji pól elektromagnetycznych dla miejsc dostępnych dla ludności dla składowej elektrycznej pola

WM_H - wartość wskaźnikowa poziomu emisji pól elektromagnetycznych dla miejsc dostępnych dla ludności dla składowej magnetycznej pola

Przyjęto najniższą dopuszczalną wartość składowej elektrycznej pola dla objętego pomiarami zakresu częstotliwości $\min(ME_{gr})= 28 \text{ V/m}$ oraz składowej magnetycznej $\min(MH_{gr})= 0,073 \text{ A/m}$.

7. Stwierdzenie zgodności

Na podstawie wytycznych podanych w Rozporządzeniu Ministra Zdrowia z dnia 17 grudnia 2019 r. w sprawie dopuszczalnych poziomów pól elektromagnetycznych w środowisku (Dz.U. 2019 poz. 2448) oraz sposobów sprawdzania dotrzymania tych poziomów zgodnie z Rozporządzeniem Ministra Klimatu z dnia 17 lutego 2020 r. w sprawie sposobów sprawdzania dotrzymania dopuszczalnych poziomów pól elektromagnetycznych w środowisku (Dz.U. 2020 poz. 258) dotyczących źródła wymagań, które muszą być spełnione (załącznik do rozporządzenia Ministra Klimatu z dnia 17 lutego 2020 r. (poz. 258)), w oparciu o zasadę podejmowania decyzji zgodną z pkt 26 załącznika do rozporządzenia Ministra Klimatu z dnia 17 lutego 2020 r. (poz. 258), na podstawie wyników pomiarów pól elektromagnetycznych wykonanych w dniu 06.12.2021 stwierdzono, iż w miejscach dostępnych dla ludności, dopuszczalne poziomy pól elektromagnetycznych w środowisku, określone w przepisach wydanych na podstawie art. 122 ust. 1 ustawy z dnia 27 kwietnia 2001 r. – Prawo ochrony środowiska, uznaje się za dotrzymane w obszarze pomiarowym, w którym w wyniku zastosowania sposobu sprawdzenia dotrzymania dopuszczalnych poziomów pól elektromagnetycznych w środowisku, udokumentowano, że żadna z wartości wskaźnikowych nie przekracza wartości 1.

8. Oświadczenie.

Wyniki badania odnoszą się wyłącznie do badanego obiektu.

Bez pisemnej zgody sprawozdanie nie może być powielane inaczej, jak tylko w całości.

Uwagi i zastrzeżenia przyjmowane są w formie pisemnej w ciągu 14 dni od daty otrzymania sprawozdania.

9. Spis załączników.

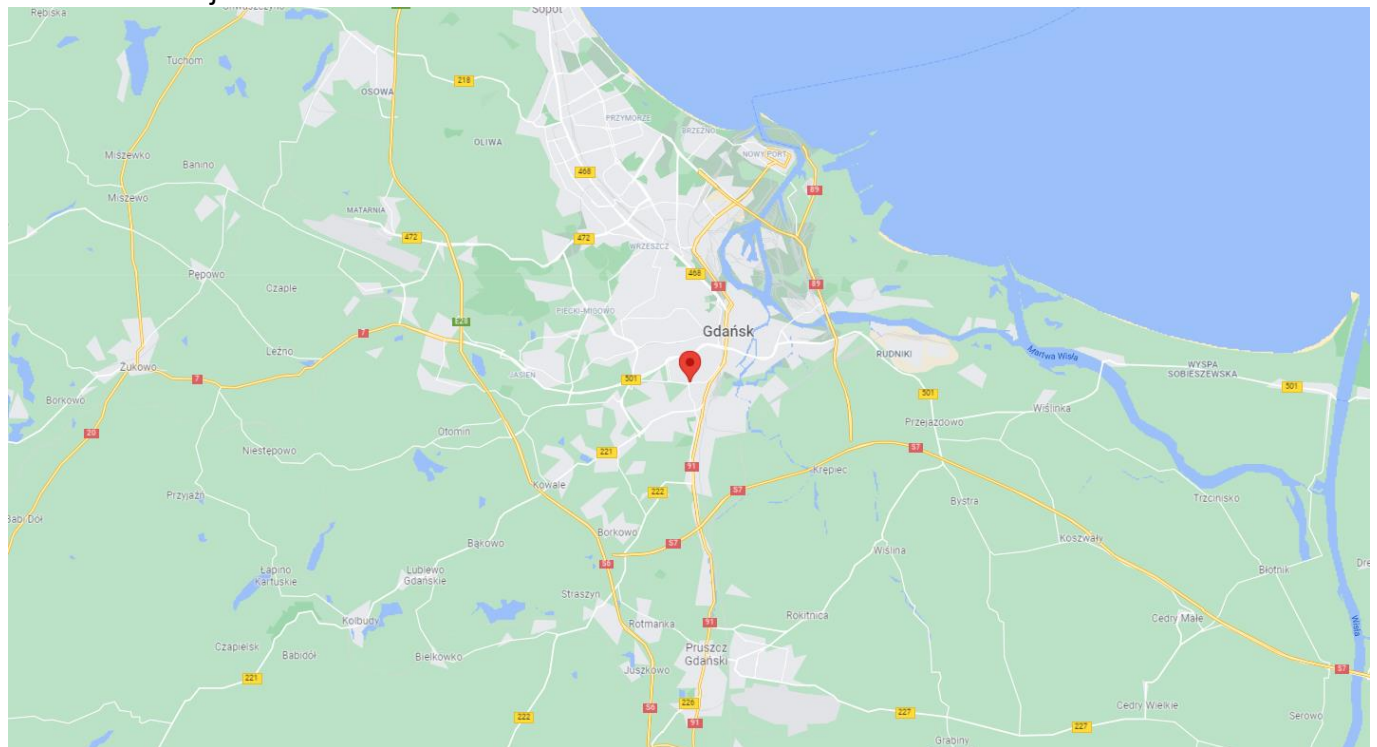
Zał. 1. Lokalizacja obiektu.

Zał. 2. Widok pionów pomiarowych

Zał. 3. Załączniki graficzne

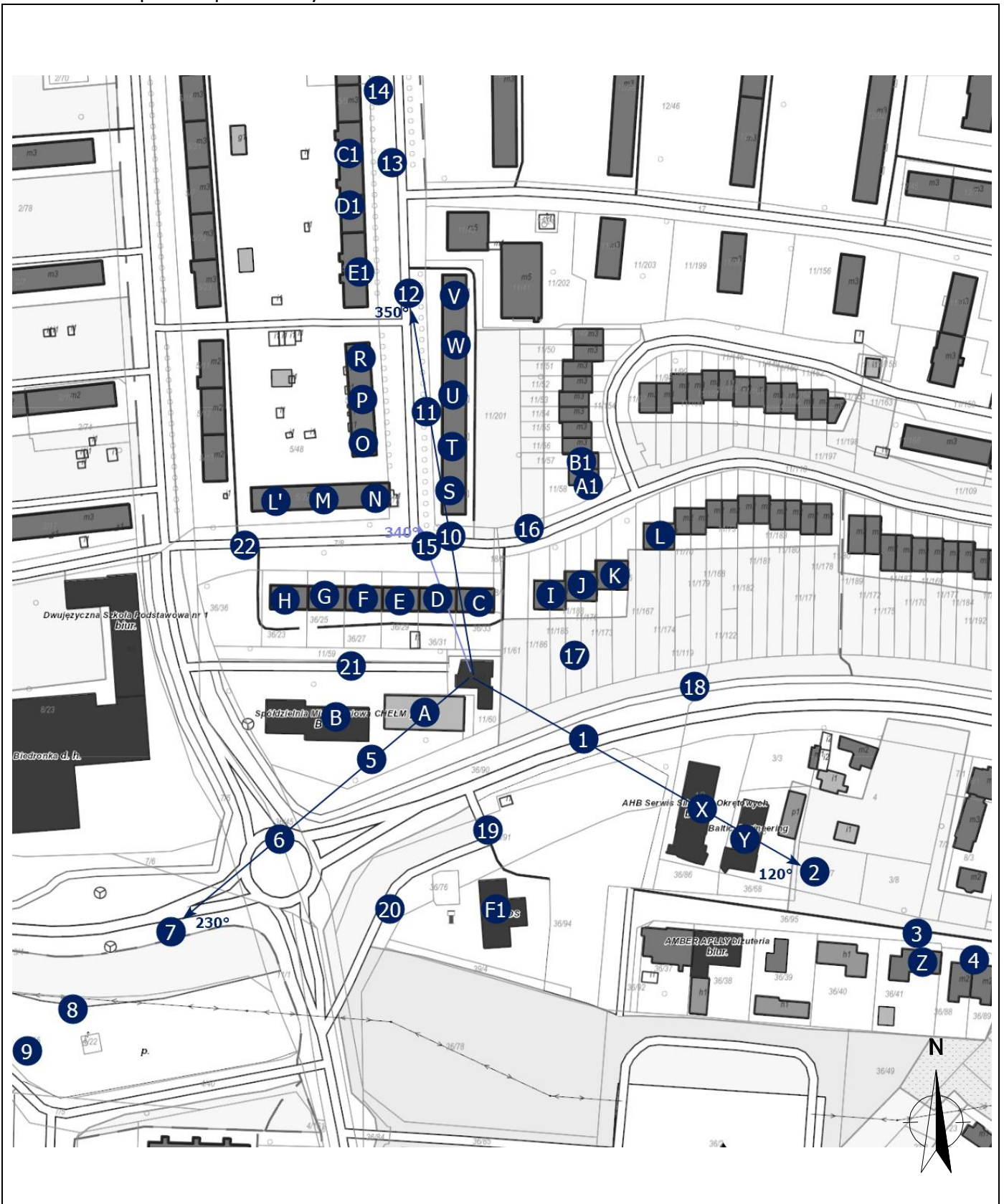
Koniec sprawozdania

Zał. 1. Lokalizacja obiektu



Współrzędne geograficzne	
długość:	18°37'41.88"E
szerokość:	54°20'18.60"N

Załącznik 2. Widok pionów pomiarowych



LEGENDA:

inna instalacja radiokomunikacyjna

Odległość, do której zostały wykonane pomiary mierząc od instalacji antenowej wynosi min.: 227 metrów.

brak dostępu

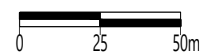
pion pomiarowy z poprawką pomiarową (brak innych instalacji radiokomunikacyjnych)

pion pomiarowy z poprawką pomiarową (w zasięgu innych instalacji radiokomunikacyjnych)

antena sektorowa

antena radioliniowa

Skala: 1:2900



Załącznik 3. Załączniki graficzne.

